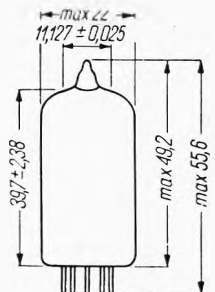


# Podwójna trioda

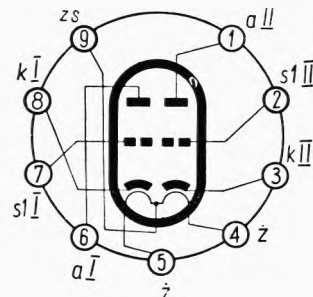
# ECC 803 S

Telefunken

Wzmacniacz m.cz. Z, LL, To, Sto, Spk



$U_{\frac{1}{2}} = 6,3; 12,6 \text{ V}$   
 $I_{\frac{1}{2}} = 300; 150 \text{ mA}$



## Wartości charakterystyczne

### Jeden system

$U_a$	100	250	V
$R_k$	2	1,6	k $\Omega$
$I_a$	$0,5$	$1,25 \pm 0,15$	mA
$S_a$	1,25	$1,6 \pm 0,35$	mA/V
$K_a$	100	100	
$\varrho_a$	80	62,5	k $\Omega$
$-I_s$		$\leq 0,2$	$\mu\text{A}$
$-U_s^1)$		$\leq 4$	V
$-U_s^2)$		$\leq 1$	V

Napięcie gongowania przy równoległym połączeniu obu systemów i zakresie częstotliwości miernika 20...5000 Hz, mierzone na wyjściu lampy jest  $< 10 \text{ mV}$  przy:

$U_b$  250 V

$R_a$  5 k $\Omega$

$U_s$  -2 V

cz. wstrząsów 25 Hz

przyspieszenie 2,5 g

Lampa może pracować bez stosowania specjalnych środków przeciwko mikroscenowaniu w układach, w których przy napięciu wejściowym  $U_{wej} > 0,5 \text{ V}$  pobiera się na wyjściu moc 50 mW.

Oporność izolacji przy 6,3 V

$U_{izol} = 300 \text{ V}^3)$  300 M $\Omega$

$U_{izol} = 100 \text{ V}^4)$  300 M $\Omega$

$U_{w/k} = 100 \text{ V}^5)$  20 M $\Omega$

$U_{w/k} = 100 \text{ V}^6)$  20 M $\Omega$

Lampa nie nadaje się do pracy, gdy:

$I_a \leq 0,8 \text{ mA}$   $S_a \leq 1,05 \text{ mA/V}$

$-I_s \geq 0,5 \mu\text{A}$

## Wartości graniczne

### Jeden system

- 1)  $I_a = 20 \mu\text{A}$
- 2)  $I_s = + 0,3 \mu\text{A}$
- 3) Anoda w stosunku do reszty elektrod
- 4) Siatka w stosunku do reszty elektrod
- 5) Włókno w stosunku do katody I
- 6) Włókno w stosunku do katody II
- 7)  $U_{s1} = \text{const}$
- 8)  $U_{s1} = \text{aut.}$
- 9)  $U_{s1}$  przez  $R_{s1}$
- 10) W odwracaczu fazy bezpośrednio przed stopniem końcowym max 150 k $\Omega$

	Jeden system	
$U_{a\max}$	600	V
$U_{am\max}$	330	V
$P_{a\max}$	1,2	W
$U_{s\max}$	$+ 0,5$	V
$U_{s\max}$	-55	V
$R_{s\max}^7)$	1,2	M $\Omega$
$R_{s\max}^8)$	2,2	M $\Omega$
$R_{s\max}^9)$	25	M $\Omega$
$I_{k\max}$	9	mA
$U_{w/k\max}$	$\pm 200$	V
$R_{w/k\max}^{10})$	20	k $\Omega$
$T_{b\max}$	170	°C

## Pojemności

	System I	System II
$C_{wej}$	1,6	1,6 pF
$C_{wyj}$	0,46	0,34 pF
$C_{s/a}$	1,7	1,7 pF
$C_{s/w}^*$	0,15	0,15 pF

System I/II		
$C_{aI/aII}$	0,6	pF
$C_{aII/sI}$	0,06	pF
$C_{aI/sII}$	0,06	pF
$C_{sI/sII}$	0,01	pF

TYPY PODOBNE

E 83 CC, 6681, 12 AX 7 S, 7025, M 8137

### Wartości robocze

Wzm. m.cz. oporowy. Jeden system $R_s = 1 \text{ M}\Omega$							Wzm. m.cz. oporowy. Jeden system $R_s = 10 \text{ M}\Omega$ . $U_s$ za pomocą $R_s$							
$U_{ab}$ V	$R_a$ kΩ	$R_s'$ kΩ	$R_k$ kΩ	$U_{wyj}$ V	$k_u$ V/V	$h$ %	$I_a$ mA	$U_{ab}$ V	$R_a$ kΩ	$R_s$ kΩ	$U_{wyj}$ V	$k_u$ V/V	$h$ %	$I_a$ mA
200	47	150	1,5	18	34	8,5	0,86	200	47	150	18	37	5,6	1,02
250	47	150	1,2	23	37,5	7	1,18	250	47	150	23	39	4,2	1,45
300	47	150	1,0	26	40	5	1,55	300	47	150	26	41	2,9	2,02
350	47	150	0,82	33	42,5	4,4	1,98	350	47	150	33	44	2,7	2,5
400	47	150	0,68	37	44	3,6	2,45	400	47	150	37	45	2,5	3,1
200	100	330	1,8	20	50	4,8	0,65	200	100	330	20	50	3,9	0,7
250	100	330	1,5	26	54,5	3,9	0,86	250	100	330	26	51	2,6	71,0
300	100	330	1,2	30	57	2,7	1,11	300	100	330	30	54	2,0	1,29
350	100	330	1,0	36	61	2,2	1,4	350	100	330	36	56	1,8	1,62
400	100	330	0,82	38	63	1,7	1,72	400	100	330	38	58	1,6	1,95
200	220	680	3,3	24	56	4,6	0,36	200	220	680	24	58	4,6	0,39
250	220	680	2,7	28	66,5	3,4	0,48	250	220	680	28	62	2,7	0,56
300	220	680	2,2	36	72	2,6	0,63	300	220	680	36	66	2,2	0,74
350	220	680	1,5	37	75,5	1,6	0,85	350	220	680	37	67	1,7	0,88
400	220	680	1,2	38	76,5	1,1	1,02	400	220	680	38	68	1,4	1,09

### Odwracacz fazy

$$I_{aI} + I_{aII} = 1,1 \text{ mA} \text{ przy } U_{ab} = 250 \text{ V}$$

$$I_{aI} + I_{aII} = 1,2 \text{ mA} \text{ przy } U_{ab} = 350 \text{ V}$$

$U_{ab}$ V	$U_a$ V	$I_{aI} + I_{aII}$ mA	$R_k$ kΩ	$R_{aI} = R_{aII}$ kΩ	$U_{wyj}$ V	$k_u$ V/V	$h$ %
	ok.						
250	65	1	68	100	20	25	1,8
250	65	1	68	100	7	25	0,6
350	90	1,2	82	150	35	27	1,8
350	90	1,2	82	150	10	27	0,5

### Odwracacz fazy

$U_{ab}$ V	$I_{aI} + I_{aII}$ mA	$R_k$ kΩ	$R_{aI} = R_{aII}$ kΩ	$U_{wyj}$ V	$k_u$ V/V	$h$ %
250	1,08	1,2	200	35	58	5,5
250	1,08	1,2	200	7	58	1,1
350	1,7	0,82	200	45	62	3,5
350	1,7	0,82	200	9	62	0,7

